

1 Laplace 变换

傅里叶变换的定义： $F(\omega) = \int_{-\infty}^{+\infty} f(t)e^{-j\omega t}dt$ 。绝对可积是充分不必要条件。

拉普拉斯变换的定义： $F(s) = \int_0^{+\infty} f(t)e^{-st}dt$ ；记号： $F(s) = \mathcal{L}[f(t)]$, $f(t) = \mathcal{L}^{-1}[F(s)]$ 。

常见函数的拉普拉斯变换：阶跃函数, $f(t) = A$, $F(s) = \frac{A}{s}$ ；斜坡函数, $f(t) = At$, $F(s) = \frac{A}{s^2}$ ；指数函数, $f(t) = e^{-at}$, $F(s) = \frac{1}{s+a}$ ；正弦函数, $f(t) = \sin(\omega t)$, $F(s) = \frac{\omega}{s^2 + \omega^2}$ 。

拉普拉斯变换的性质：线性性质, $\mathcal{L}[af_1(t) + bf_2(t)] = aF_1(s) + bF_2(s)$ ；微分性质, 若 $f(0) = f'(0) = \dots = 0$, 则 $\mathcal{L}[f^{(n)}(t)] = s^n F(s)$, 否则 $\mathcal{L}[f'(t)] = sF(s) - f(0)$ ；积分性质, $\mathcal{L}[\int_0^t f(\tau)d\tau] = \frac{1}{s}F(s)$ ；延迟性质, $\mathcal{L}[f(t-\tau)] = e^{-s\tau}F(s)$ ；终值定理: $\lim_{t \rightarrow \infty} f(t) = \lim_{s \rightarrow 0} sF(s)$ ；初值定理: $\lim_{t \rightarrow 0} f(t) = \lim_{s \rightarrow \infty} sF(s)$ 。

有理函数的分解：对于 $F(s) = \frac{\dots}{(s-s_1)(s-s_2)\dots(s-s_n)}$, 1) 均为单实根, 令 $F(s) = \frac{c_1}{s-s_1} + \frac{c_2}{s-s_2} + \dots + \frac{c_n}{s-s_n}$, 则 $c_i = \lim_{s \rightarrow s_i} (s-s_i)F(s)$, 2) 多重实根, 令 $F(s) = \frac{c_n}{(s-s_1)^n} + \frac{c_{n-1}}{(s-s_1)^{n-1}} + \dots + \frac{c_1}{s-s_1}$, 则 $c_n = \lim_{s \rightarrow s_1} (s-s_1)^n F(s)$, $c_{n-j} = \frac{1}{j!} \lim_{s \rightarrow s_1} \frac{d^j}{ds^j} [(s-s_1)^n F(s)]$ 。

商的求导法则, $[\frac{u}{v}]' = \frac{u'v - uv'}{v^2}$, $[\frac{1}{x}] = -\frac{1}{x^2}$ 。

2 时域分析

2.1 稳定性

定义：系统偏离平衡状态后, 在没有外力作用下, 其状态能自动地回到平衡状态。令 $y_t(t)$ 为暂态分量, 稳定则 $\lim_{t \rightarrow \infty} y_t(t) = 0$ 。为什么需要稳定性? 由系统内在特性造成的输出响应必须逐渐衰减并最终消失, 从而才可能专心地跟踪输入信号或者抑制干扰影响。

稳定性分析：特征方程的根, 1) 都在左半平面, 则稳定, 2) 虚轴上有单根, 其他根都在左半平面, 则临界稳定, 3) 由半平面有根或者虚轴上有重根, 则不稳定。

传递函数：零初始条件。 $G(s) = \frac{Y(s)}{R(s)}$, 其中 $Y(s)$ 是输出, $R(s)$ 是输入。特征方程的根就是传递函数的极点。

2.2 结构图

闭环传递函数：令 $G(s)$ 是前向传递函数, $H(s)$ 是负反馈传递函数, 则闭环传递函数 $\frac{Y(s)}{R(s)} = \frac{G(s)}{1+G(s)H(s)}$ 。

结构图的等效与化简：略。

劳斯判据 (根稳定性判别方法)：对于 6 次方程 $F(s) = a_0s^6 + a_1s^5 + \dots + a_5s + a_6$, 如下列出前两行:

$$\begin{array}{cccccc} s^6 & a_0 & a_2 & a_4 & a_6 & \\ s^5 & a_1 & a_3 & a_5 & 0 & \end{array}$$

然后按照 $a_{ij} = -\frac{1}{a_{i-1,1}} \begin{vmatrix} a_{i-2,1} & a_{i-2,j+1} \\ a_{i-1,1} & a_{i-1,j+1} \end{vmatrix}$, 填充其它行。第一列符号改变次数等于右半平面根数。若劳斯判据第一列无符号改变, 则根稳定。

劳斯判据第一列为 0：如果某一行第一个元素为 0, 其余元素不为 0, 将 0 代替为一个小的正数 ϵ ；如果某一行第一个元素为 0, 其余元素也为 0, 则有关于原点对称的根, 这时使用辅助多项式, 求其微分作为新的一行, 例子如下。

$$\begin{array}{ccc} s^3 & 6 & 6 \\ s^2 & 4 & 4 \\ s^1 & 0 & 0 \end{array}$$

这时辅助多项式为 $A(s) = 4s^2 + 4$, 则 $\frac{dA(s)}{ds} = 8s$, 故最后的表格如下。

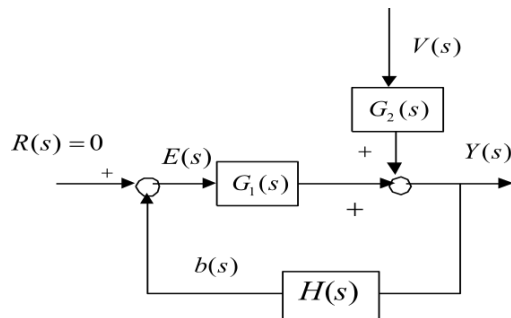
$$\begin{array}{ccc} s^3 & 6 & 6 \\ s^2 & 4 & 4 \\ s^1 & 8 & 0 \\ s^0 & 4 & \end{array}$$

2.3 稳态性能

产生原因：反馈控制系统需要误差信号来产生控制作用。如果稳态时仍然需要控制作用, 就必须有非零的误差以维持控制作用 ($u = Ke$)。从而产生了稳态误差。

计算稳态误差的前提：系统是稳定的。

输入稳态误差和干扰稳态误差计算如下。



$$e_{ss} = \lim_{s \rightarrow 0} \frac{sR(s)}{1 + G_1(s)H(s)} + \lim_{s \rightarrow 0} \frac{-sG_2(s)H(s)V(s)}{1 + G_1(s)H(s)}$$

阶跃输入下的稳态误差： $e_s = \frac{R}{1 + \lim_{s \rightarrow 0} G_1(s)H(s)} = \frac{R}{1 + K_p}$, 其中 $K_p = \lim_{s \rightarrow 0} G_1(s)H(s)$ 为位置品质系数。

斜坡输入下的稳态误差: $e_s = \frac{R}{\lim_{s \rightarrow 0} sG_1(s)H(s)} = \frac{R}{K_v}$, 其中 $K_v = \lim_{s \rightarrow 0} sG_1(s)H(s)$ 为速度品质系数。

斜坡输入下的稳态误差: $e_s = \frac{R}{\lim_{s \rightarrow 0} s^2 G_1(s)H(s)} = \frac{R}{K_a}$, 其中 $K_a = \lim_{s \rightarrow 0} s^2 G_1(s)H(s)$ 为加速度品质系数。

稳态误差总结: 令

$$G_1(s)H(s) = \frac{K \prod_{k=1}^p (T_k s + 1) \prod_{l=1}^q (T_l^2 s^2 + 2\xi_l T_l s + 1)}{s^r \prod_{i=1}^m (T_i s + 1) \prod_{j=1}^n (T_j^2 s^2 + 2\xi_j T_j s + 1)}$$

	阶跃	斜坡	抛物线
$r = 0$	$\frac{R}{1+K}$	∞	∞
$r = 1$	0	$\frac{R}{K}$	∞
$r = 2$	0	0	$\frac{R}{K}$

$\frac{1}{s}$ 越多, 稳态性能越好。

2.4 动态性能

超调量: $\sigma = \frac{y_m - y_s}{y_s}$, 其中 y_s 是稳态值不是期望值。

过渡过程时间: t_s 是进入稳态值 5% 范围的时间。

一阶系统定量分析: 传递函数为 $\frac{1}{Ts+1}$ 。单位阶跃响应为 $y(t) = 1 - e^{-t/T}$ 。 $\sigma = 0, t_s \approx 3T$ 。

二阶系统定量分析: 传递函数为 $\frac{\omega^2}{s^2 + 2\xi\omega s + \omega^2}$ 。 $\xi > 0$ 则稳定。

$$\sigma = \begin{cases} 0 & \xi \geq 1 \\ e^{-\frac{\pi\xi}{\sqrt{1-\xi^2}}} & 0 < \xi < 1 \end{cases}$$

$$t_s \begin{cases} \frac{3.2}{\xi\omega} & 0 < \xi < 0.69 \\ \frac{2.8+6.5(\xi-0.7)}{\omega} & \xi \geq 0.69 \end{cases}$$

高阶系统的近似简化: 设传递函数为 $M(s) = \frac{K(s-z_1)\cdots(s-z_m)}{(s-p_1)\cdots(s-p_n)}$, 1) 零极点相消, $|p_k - z_r|$ 很小时

对消, 结果为 $\bar{M}(s) = \frac{Kz_r \prod_{j=1}^m (s-z_j)}{p_k \prod_{i=1, i \neq k}^n (s-p_i)}$, 右半平面的零、

极点不能对消; 2) 远极点消除, 对于 $\text{Re}(p_k)$ 很小的情况, 可消除该极点, 结果为 $\bar{M}(s) = \frac{K \prod_{j=1}^m (s-z_j)}{p_k \prod_{i=1, i \neq k}^n (s-p_i)}$ 。

消除时稳态放大倍数应不变。

3 状态方程

状态方程的一般形式:

$$\begin{cases} \dot{x}(t) = Ax(t) + Bu(t) \\ y(t) = Cx(t) + Du(t) \end{cases}$$

状态方程之间的转换: 状态变量的选取不唯一, 从而状态方程不唯一 (传递函数是唯一的)。如果 $\bar{x}(t) = Px(t)$, 则新状态方程的各个参数变为 $\bar{A} = PAP^{-1}, \bar{B} = PB, \bar{C} = CP^{-1}, \bar{D} = D$ 。

状态方程到传递函数的转换: 初态必须是 0, 即 $x(0) = 0$, 此时 $G(s) = C(sI - A)^{-1}B + D$; 否则 $Y(s) = G(s)U(s) + Cx(0)$ 。

传递函数到状态方程的转换: 设 $G(s) = \frac{Y(s)}{U(s)} = \frac{b_0 s^m + b_1 s^{m-1} + \cdots + b_{m-1} s + b_m}{s^n + a_1 s^{n-1} + \cdots + a_{n-1} s + a_n}$ 。若 $n > m$, 则

$$A = \begin{bmatrix} 0 & 1 & 0 & \cdots & 0 \\ 0 & 0 & 1 & \cdots & 0 \\ \vdots & \vdots & \vdots & \ddots & \vdots \\ 0 & 0 & 0 & \cdots & 1 \\ -a_n & -a_{n-1} & -a_{n-2} & \cdots & -a_1 \end{bmatrix} B = \begin{bmatrix} 0 \\ 0 \\ \vdots \\ 0 \\ 1 \end{bmatrix}$$

$$C = [b_m \quad b_{m-1} \quad \cdots \quad b_1 \quad b_0 \quad 0 \quad \cdots \quad 0], D = 0$$

若 $n = m$, 则 $D = b_0$ 。

非线性系统的线性化:

$$\frac{dx(t)}{dt} = f(x, u) \approx f(x_0, u_0) + \left. \frac{\partial f(x, u)}{\partial x} \right|_{(x_0, u_0)} (x - x_0) + \left. \frac{\partial f(x, u)}{\partial u} \right|_{(x_0, u_0)} (u - u_0)$$

选择工作点 $f(x_0, u_0) = 0$, 令 $\tilde{x} = x - x_0, \tilde{u} = u - u_0$ 。

步骤:

1. 列写原始微分方程
2. 建立状态方程
3. 确定工作点
4. 建立增量的线性化方程

4 频域分析

频域分析的特点: 稳定的线性系统不改变输入正弦信号的频率, 只改变输入正弦信号的幅值和相位。

与时域响应的关系: 将传递函数中的 s 替换为 $j\omega$ 即可得到频率特性。

一阶系统的频率特性: $G(j\omega) = \frac{1}{j\omega T + 1}$, 故幅频 $A(\omega) = |G(j\omega)| = \frac{1}{\sqrt{(\omega T)^2 + 1}}$, 相频 $\angle G(j\omega) = -\arctan(\omega T)$ 。可以看出: 1) 低频信号, 幅值衰减少, 相位偏移少, 能够基本复现输入信号; 高频信号, 幅值衰减很多, 相位偏移很大, 信号变形很厉害。2) 定义 $\omega_b = \frac{1}{T}$, 它是输出下降到 $0.707A$ 处的

频率, ω_b 大则可通过的频率成分越多, 惯性小, 输出过渡过程也越快; ω_b 小则惯性大。

极坐标图: $G(j\omega) = A(\omega)e^{j\varphi(\omega)}$, 作出极坐标的参数方程。

Bode 图: 横坐标采用 10 倍频程 $\log(\omega)$ 。上方是幅频图, 纵坐标 $L(\omega) = 20 \log(A(\omega))$ 。下方是相频图。

一阶系统的 Bode 图: 1) $\omega T \ll 1$, 则 $A(\omega) \approx 1, L(\omega) \approx 0, \varphi(\omega) \approx 0$; 2) $\omega T \gg 1$, 则 $A(\omega) \approx \frac{1}{\omega T}, L(\omega) \approx 20 \log(\frac{1}{T}) - 20 \log \omega, \varphi(\omega) \approx -90^\circ$; 3) $\omega T = 1$, 则 $A(\omega) = \frac{1}{\sqrt{2}}, L(\omega) \approx -3, \varphi(\omega) = -45^\circ$ 。

Bode 图的性质:

1. 采用频率的对数坐标, 拓宽了视野
2. 作图容易, 可利用折线段近似
3. 频率特性乘除对应于幅频特性曲线加减
4. 频率特性的纵向放大、缩小对应于幅频特性曲线的上移和下移
5. 简化了频率特性的倒数关系

基本环节的 Bode 图: 1) 比例环节 $G(s) = K$, 则 $L(\omega) = 20 \log(k), \varphi(\omega) = 0$; 2) 积分环节 $G(s) = \frac{1}{s}$, 则 $L(\omega) = -20 \log \omega, \varphi(\omega) = -90^\circ$; 3) 微分环节 $G(s) = s$, 则 $L(\omega) = 20 \log \omega, \varphi(\omega) = 90^\circ$ 。

二阶振荡环节的 Bode: $G(s) = \frac{1}{T^2 s^2 + 2\xi T s + 1}, 0 \leq \xi < 1$, $G(j\omega) = \frac{1}{1 - \omega^2 T^2 + 2\xi \omega T j}$, 则

$$A(\omega) = \frac{1}{\sqrt{(1 - \omega^2 T^2)^2 + (2\xi \omega T)^2}}$$

$$\varphi(\omega) = -\arctan \frac{2\xi \omega T}{1 - \omega^2 T^2}$$

$$L(\omega) = -20 \log \sqrt{(1 - \omega^2 T^2)^2 + (2\xi \omega T)^2}$$

1) $\omega \ll \frac{1}{T}$, 则 $L(\omega) \approx 0, \varphi(\omega) \approx 0$; 2) $\omega \gg \frac{1}{T}$, 则 $L(\omega) \approx 20 \log \frac{1}{(\omega T)^2} = 40 \log \frac{1}{T} - 40 \log \omega, \varphi(\omega) \approx -180^\circ$; 3) $\omega = \frac{1}{T}$, 则 $L(\omega) = -20 \log(2\xi), \varphi(\omega) = -90^\circ$ 。

一般传递函数的 Bode 图: 一般地, $G(s) = G_1(s)G_2(s) \cdots G_n(s)$, 则 $L(\omega) = L_1(\omega) + L_2(\omega) + \cdots + L_n(\omega)$, $\varphi(\omega) = \varphi_1(\omega) + \varphi_2(\omega) + \cdots + \varphi_n(\omega)$ 。

对下方的传递函数:

$$G(s) = \frac{K \prod_{k=1}^p (T_k s + 1) \prod_{l=1}^q (T_l^2 s^2 + 2\xi_l T_l s + 1)}{s^r \prod_{i=1}^m (T_i s + 1) \prod_{j=1}^n (T_j^2 s^2 + 2\xi_j T_j s + 1)}$$

幅频特性作图步骤如下:

1. 化标准形
2. 低频部分: 找 $\omega = 1, L(\omega) = 20 \log K$ 的点, 由该点向左画斜率为 $-20r$ 的斜线
3. 求转折频率 $\omega_i = 1/T_i$, 并由小到大排序, $\omega_1 < \omega_2 < \cdots$
4. 从低频渐近线开始自左向右画, 碰到 ω_i 就拐弯, 分母环节向下弯, 分子环节向上弯, 一阶环节斜率变 20, 二阶环节变 40
5. 修正 (圆滑过渡)

相频特性作图步骤如下:

1. 画 $-90^\circ \times r$ 水平线
2. 算出转折点 $\varphi(\omega)$
3. 粗画相频特性 $\varphi(\omega)$

稳定裕量: 令 ω_c 为剪切频率, 即 $L(\omega) = 0$ 时 ω 的值, 则稳定裕量为 $\gamma = \varphi(\omega_c) - (-180^\circ)$ 。一般而言, $30^\circ \leq \gamma \leq 70^\circ$ 是可接受的范围。 γ 太小, 稳定裕量小, 超调大, 振荡多; γ 太大, 稳定裕量大, 动态响应慢, 过渡过程时间长。

5 采样控制系统

5.1 概念

采样控制系统的特性: 采样周期越小, 采样信号越接近原始信号。香农定律: 为了完美地重构信号, 需要按照不小于 2 倍带宽采样率对信号进行采样。数学描述: $e^*(t) = \sum_{k=0}^{\infty} e(kT)\delta(t - kT)$ 。

系统分类:

- 连续控制系统: 连续信号
- 离散控制系统: 离散信号
- 采样控制系统: 连续、离散信号
- 数字控制系统: 连续、离散信号, 量化效应

采样系统的数学模型:

$$\begin{cases} x(k+1) = Fx(k) + Gu(k) \\ y(k) = Cx(k) + Du(k) \end{cases}$$

5.2 Z 变换

Z 变换: $R(z) = \sum_{k=0}^{+\infty} r(k)z^{-k}$ 。

常见 Z 变换: 1) 对于 $r(k) = \begin{cases} 1 & k=0 \\ 0 & k \neq 0 \end{cases}$, 有 $R(z) =$

1; 2) 对于 $r(k) = \begin{cases} 1 & k \geq 0 \\ 0 & k < 0 \end{cases}$, 有 $R(z) = \frac{z}{z-1}$ 。

Z 变换性质: 1) 线性性质, $Z[ar_1(t) + br_2(t)] = aR_1(z) + bR_2(z)$; 2) 延迟性质, $Z[r(k-1)] = z^{-1}R(z)$; 3) 超前性质, $Z[r(k+1)] = z(R(z) - r(0))$; 4) 初值定理, $\lim_{k \rightarrow 0} r(k) = \lim_{z \rightarrow \infty} R(z)$; 5) 终值定理, $\lim_{k \rightarrow \infty} r(k) = \lim_{z \rightarrow 1} (1 - z^{-1})R(z)$ 。

5.3 离散与连续之间的转换

连续系统对应的离散化模型:

$$F = e^{AT}, G = \left(\int_0^T e^{A(T-t)} dt \right) B$$

连续传递函数到离散传递函数的转换:

$$G(z) = Z \left[\frac{1 - e^{-Ts}}{s} G(s) \right] = (1 - z^{-1}) Z \left[\frac{1}{s} G(s) \right]$$

离散状态方程到传递函数的转换: 与连续类似。

$$G(z) = C(zI - F)^{-1}G + D$$

离散传递函数到状态方程的转换: 与连续类似。

5.4 稳定性

离散系统稳定性条件: 特征方程的根均在单位圆内。

先作替换 $z = \frac{\omega+1}{\omega-1}$, 再用劳斯判据。

5.5 稳态性能

阶跃输入下的稳态误差: 输入 $R(z) = R \frac{z}{z-1}$, $e_s = \frac{R}{1 + \lim_{z \rightarrow 1} D(z)G(z)} = \frac{R}{1 + K_p}$, 其中 $K_p = \lim_{z \rightarrow 1} D(z)G(z)$ 为位置品质系数。

斜坡输入下的稳态误差: 输入 $R(z) = R \frac{Tz}{(z-1)^2}$, $e_s = \frac{R}{\lim_{z \rightarrow 1} \frac{z-1}{T} D(z)G(z)} = \frac{R}{K_v}$, 其中 $K_v = \lim_{z \rightarrow 1} \frac{z-1}{T} D(z)G(z)$ 为速度品质系数。

斜坡输入下的稳态误差: 输入 $R(z) = R \frac{T^2 z(z+1)}{2(z-1)^3}$, $e_s = \frac{R}{\lim_{z \rightarrow 1} (\frac{z-1}{T})^2 D(z)G(z)} = \frac{R}{K_a}$, 其中 $K_a = \lim_{z \rightarrow 1} (\frac{z-1}{T})^2 D(z)G(z)$ 为加速度品质系数。

总结:

$\frac{1}{(z-1)^r}$	阶跃	斜坡	抛物线
$r = 0$	$\frac{R}{1+K_p}$	∞	∞
$r = 1$	0	$\frac{R}{K_v}$	∞
$r = 2$	0	0	$\frac{R}{K_a}$

5.6 动态性能

近似等效法

$$z = e^{sT} \approx \frac{1 + sT/2}{1 - sT/2}$$

6 现代控制理论

极点配置: 设 $u(t) = -Lx(t)$, 要适当选取 L , 通过改变 $x(t)$ 的运动规律, 间接改变了输出 $y(t)$ 的运动规律。设期望的极点为 p_1, p_2, \dots, p_n , 则可求解 $|sI - (A - BL)| = (s - p_1)(s - p_2) \cdots (s - p_n)$ 得到 L 。

能控性: $S = \begin{bmatrix} B & AB & \cdots & A^{n-1}B \end{bmatrix}$ 满秩则能控。